

Конденсированные среды и межфазные границы

Оригинальные статьи

DOI: <https://doi.org/10.17308/kcmf.2020.22/2533>

Поступила в редакцию 11.02.2020

Принята к публикации 15.03.2020

Опубликована онлайн 25.03.2020

ISSN 1606-867X

eISSN 2687-0711

УДК 536.21, 549.08

Исследование теплопроводности PbS, CuFeS₂, ZnS

© 2020 П. А. Попов^a, С. В. Кузнецов^a, А. А. Круговых^a, Н. В. Митрошенков^a,
С. С. Балабанов^b, П. П. Федоров^{✉,c}

^aБрянский государственный университет им. И. Г. Петровского,
ул. Бежицкая, 14, Брянск 241036, Российская Федерация

^bИнститут химии высокочистых веществ им. Г. Г. Девятых РАН,
ул. Тропинина, 49, Нижний Новгород 603137, Российская Федерация

^cИнститут общей физики им. А. М. Прохорова РАН, ул. Вавилова, 38, 119991 Москва, Российская Федерация

Аннотация

Знание величины коэффициента теплопроводности полупроводникового материала необходимо для оценки возможности использования его в качестве термоэлектрика. Абсолютным стационарным методом продольного теплового потока в интервале 50–300 К исследована теплопроводность природных минералов галенита (PbS), халькопирита (CuFeS₂), а также керамики ZnS.

Образцы были однородными, имели малое содержание примесей (химический состав образцов контролировался рентгенофлюоресцентным методом) и характеризовались высокими значениями удельного электрического сопротивления ($\rho > 9 \cdot 10^{-2}$ Ом·м при комнатной температуре). Это соответствует электронной составляющей теплопроводности $k_e < 1 \cdot 10^{-4}$ Вт/(м·К). Результаты измерений теплопроводности представлены графически и в табулированном виде. Все зависимости являются убывающими. Величины теплопроводности (Вт/(м·К)) при 50 К составляют 10.9 для PbS, 62 для CuFeS₂ и 73–98 для ZnS. При 300 К соответствующие величины равны 2.48, 10.5 и 18.6–18.8 Вт/(м·К).

Все исследованные материалы значительно хуже проводят тепло, чем пирит FeS₂. Проведено сравнение полученных данных с литературными. Температурная зависимость теплопроводности галенита является слабой, его низкая теплопроводность благоприятна для термоэлектрических приложений.

Выявленная в настоящей работе теплопроводность халькопирита оказалась наивысшей из соответствующих литературных данных. Высокая теплопроводность сульфида цинка коррелирует с ее широкой вариабельностью в зависимости от структурных особенностей материала. Рассчитаны температурные зависимости средней длины свободного пробега фононов. Оцененные для температуры плавления значения этой характеристики для PbS и особенно для ZnS значительно превосходят размеры элементарной кристаллической ячейки, что необычно.

Ключевые слова: минерал, галенит, халькопирит, керамика, сульфид цинка, теплопроводность, температурная зависимость.

Источник финансирования: Исследование выполнено в рамках и при поддержке госзадания № 3.8326.2017/8.9 с использованием оборудования ЦКП Брянского госуниверситета/

Для цитирования: Попов П. А., Кузнецов С. В., Круговых А. А., Митрошенков Н. В., Балабанов С. С., Федоров П. П. Исследование теплопроводности PbS, CuFeS₂, ZnS. Конденсированные среды и межфазные границы. 2020;22(1): 97–105. <https://doi.org/10.17308/kcmf.2020.22/2533>

✉ Федоров Павел Павлович, e-mail: ppfedorov@yandex.ru



Контент доступен под лицензией Creative Commons Attribution 4.0 License.

1. Введение

Сульфиды представляют собой обширный класс соединений с полупроводниковым характером электропроводности [1]. Знание величины коэффициента теплопроводности необходимо для определения области применения твердотельного материала, в том числе в качестве термоэлектрика [2]. Особенность этой характеристики заключается в значительной вариабельности в зависимости от температуры, примесного состава и структурных особенностей материала. Существующие теоретические представления о процессах теплопереноса не позволяют делать надежные и точные априорные оценки теплопроводности, и единственным надежным методом ее определения является экспериментальный.

К настоящему времени известен ряд экспериментальных работ по исследованию теплопроводности пирита (FeS_2) [3], галенита (PbS) [4–9], халькопирита (CuFeS_2) [10–14], сульфида цинка [15–19]. Полученные в этих работах результаты широко варьируются как по абсолютной величине теплопроводности, так и по характеру ее температурной зависимости.

Целью настоящей работы является независимое исследование температурной зависимости теплопроводности природных минералов галенита и халькопирита (Уральский регион), а также синтетической керамики сульфида цинка.

2. Экспериментальная часть

Теплопроводность в интервале температур 50–300 К измерялась абсолютным стационарным методом продольного теплового потока. Экспериментальная аппаратура и методика изме-

рений описаны в [20]. Образцы PbS и CuFeS_2 имели размеры, близкие к 9×9×24 мм, см. рис. 1, 2, $\text{ZnS} - 5 \times 5 \times 40$ мм. Погрешность определения величины теплопроводности была не хуже $\pm 5\%$.

Химический состав образцов контролировался рентгенофлюоресцентным методом на приборе «СУР-01 Реном». Анод рентгеновской трубы был медным, напряжение на ней 30 кВ, сила тока 4800 мА. Использовался ванадиевый фильтр (100 мкм).

Рентгенофазовый анализ проводился на дифрактометре ДРОН-7 с кобальтовым анодом трубы ($\lambda_m = 1.79021$ Å).

Образец PbS был вырезан из однородного, монолитного куска минерала галенита (см. фото на рис. 1) массой около 0.5 кг. Исследование химического состава не выявило наличия примесей с точностью 0.01 вес. % по отношению к Pb . Измеренное при комнатной температуре удельное сопротивление оказалось равным $\rho = 9 \cdot 10^{-2}$ Ом·м. Это достаточно высокая величина, чтобы оцененную с использованием закона Видемана–Франца–Лоренца электронную составляющую теплопроводности $k_e < 1 \cdot 10^{-4}$ Вт/(м·К) можно было считать пре-небрежимо малой по сравнению с экспериментально определенной.

Образец CuFeS_2 (см. фото на рис. 2) был вырезан из однородного монолитного куска халькопирита. Порошковая рентгеновская дифрактограмма этого образца приведена на рис. 3. Она практически идентична дифрактограммам, полученным в [13].

Результаты исследования химического состава образца халькопирита представлены в табл. 1. Пробы брались с различных участков образца.



Рис. 1. Фотография монолита галенита с вырезанной заготовкой образца



Рис. 2. Фотография монолита халькопирита с вырезанной заготовкой образца

Таблица 1. Содержание (вес. %) химических элементов в образце халькопирита

Элемент	Номер пробы			
	1	2	3	4
Fe	35.03	40.29	39.97	38.09
Cu	60.61	59.48	59.71	60.98
Zn	0.00	0.00	0.00	0.359
Ar	0.213	0.107	0.325	0.338
Mn	0.151	0.117	0.00	0.280

Можно видеть малое отклонение от однородности химического состава и невысокое содержание примесей. Удельное сопротивление и электронная составляющая теплопроводности при комнатной температуре были близкими к определенным для галенита.

Один из образцов сульфида цинка (ООО «ПромЛаб», г. Нижний Новгород, Россия) получен методом химического осаждения из газовой фазы по реакции паров цинка и сероводорода. Вырезанный образец для измерения теплопроводности имел размеры $5 \times 5 \times 40$ мм, его длинная ось была перпендикулярна направлению роста материала. Сульфид цинка квалификации FLIR-grade относится к особо чистым веществам (химическая чистота по примесям металлов 6N), его электропроводность, соответственно, очень мала. Средний размер зерна порядка 10 мкм, плотность более 99.99 % от теоретической. Материал предназначен для оптических приме-

нений в ИК-технике и обладает прозрачностью в области 1–13 мкм. В видимом диапазоне ZnS рассеивает излучение, из-за присутствия наряду с кубической фазой сфалерита незначительного количества гексагональной фазы вюрцита.

Второй образец сульфида цинка был представлен А. Г. Солдатовым (Минск, Беларусь, НПЦ по материаловедению). После изготовления для измерений он имел размеры $8 \times 6 \times 20$ мм. Электропроводность была пренебрежимо малой.

3. Результаты и обсуждение

На рис. 4 представлен график температурной зависимости теплопроводности $k(T)$ образца галенита. Здесь же для сравнения приведены результаты, полученные авторами других работ (координаты точек $k(T)$ получены методом оцифровки изображенных графиков).

Видно, что в области азотных температур наши значения $k(T)$ близки к полученным для одного из синтезированных кристаллических («few single crystals») образцов в [9]. Однако они значительно уступают данным [4]. Известно [21], что низкотемпературная теплопроводность особенно чувствительна к различного рода структурным особенностям материала. Важно отметить, что экстраполяция в область $T > 600$ К наших данных (пунктир на рис. 4 дает практическое совпадение с данными [5, 6]. Это позволяет оценивать последние как характерные для кристаллической матрицы PbS.

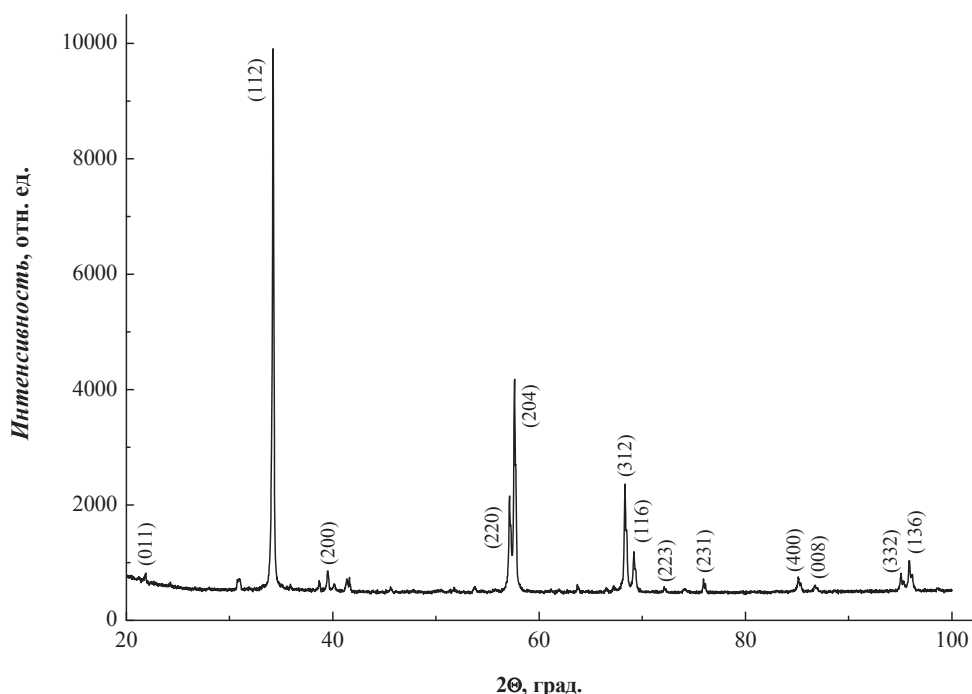


Рис. 3. Порошковая дифрактограмма образца халькопирита

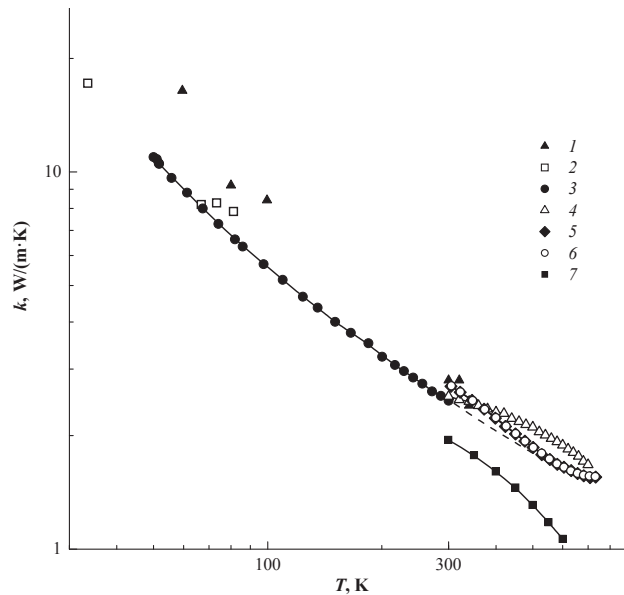


Рис. 4. Температурная зависимость теплопроводности галенита: [4] (1), [9] (2), наши данные (3), [8] (4), [6] (5), [5] (6), [7] (7)

Кривая $k(T)$, полученная в [7], загибается вниз. И в области самых высоких температур при описании поведения теплопроводности функцией $k(T) \sim T^n$ значение параметра $n > 1.1$, что представляется сомнительным, особенно с учетом очень низких значений теплопроводности. В указанной работе теплопроводность определялась из температуропроводности с использованием температурной зависимости теплоемкости, рассчитанной из теории Дебая. Однако хорошо известно, что реальное поведение теплоемкости многих соединений существенно отличается от дебаевского. Действительно, как показано в [22, 4], теплоемкость PbS круто растет при повышении температуры до комнатной и продолжает расти вплоть до температуры плавления [23].

При определении поведения теплопроводности авторами [8] использовались собственные данные по теплоемкости, которые, на наш взгляд, вызывают сомнения. С этим обстоятельством мы связываем загибание вниз кривой $k(T)$, полученной в указанной работе.

На рис. 5 приведен график температурной зависимости средней длины свободного пробега фононов $l(T)$ в галените. Она определялась из дебаевского выражения

$$k = C \cdot v \cdot l / 3, \quad (1)$$

где C – теплоемкость единицы объема, v – средняя скорость распространения фононов (звука). Фононную модель теплопередачи условно мож-

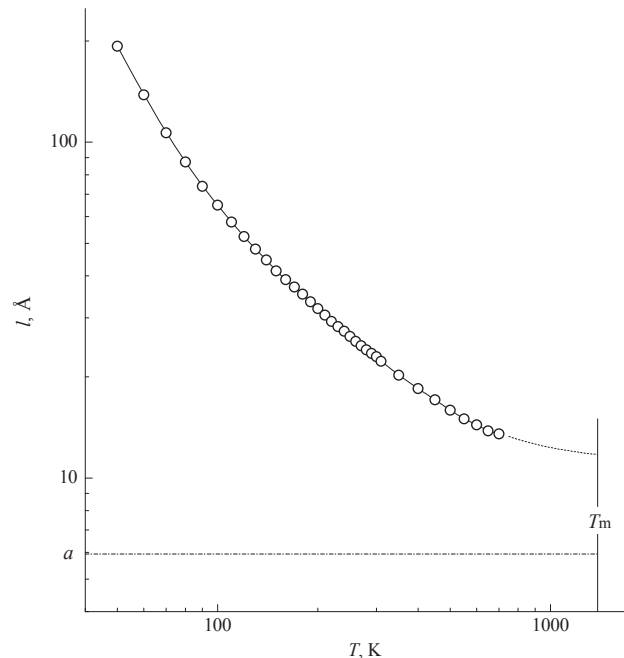


Рис. 5. Температурная зависимость средней длины свободного пробега фононов в PbS

но использовать не только для монокристаллов, но и для существенно разупорядоченных сред. При расчетах использовались наши данные по теплопроводности, их экстраполяция в область высоких температур, данные по теплоемкости из [4] и [23]. В качестве средней скорости звука была принята величина $v = 2040$ м/с из [5].

Можно видеть, что температурная зависимость $l(T)$ является сравнительно слабой. В интервале температур 50–300 К величина l изменяется только на один порядок. Такое поведение $l(T)$ свидетельствует о значительном проявлении фононного рассеяния, характерного для поликристаллического состояния материала. В области температуры плавления полученная экстраполяцией величина l в 2 раза превосходит параметр кристаллической ячейки PbS. Заметим, что для многих монокристаллов с различными матричным химическим составом и структурой минимальная величина l , определенная аналогичным образом, близка к параметру ячейки или сравнима со средним междоузельным расстоянием в кристалле [24, 25]. Объяснение полученного большого значения l_{\min} галенита представляется затруднительным. Как следует из уравнения (1), ограничения в выборе составляющих теплоемкости, эффективных для теплопереноса, могут привести лишь к увеличению рассчитываемых значений l . Отмечаемый в [5, 6] биполярный вклад в измеряемую теплопроводность PbS, в случае нашего образца с ма-

лым содержанием примесей должен быть пре-небрежимо малым.

Результаты измерений теплопроводности халькопирита представлены на рис. 6. Для сравнения здесь же приведены данные других авторов (координаты точек $k(T)$ получены оцифровкой графиков на рисунках).

Видно, что имеющиеся в настоящее время сведения по теплопроводности халькопирита существенно различаются. Исследованный нами природный образец при температурах ниже комнатной имеет значительно более высокую теплопроводность (рис. 6, кривая 1), чем другие – синтезированные. С учетом малого содержания примесей это однозначно свидетельствует о меньшей степени разупорядоченности структуры. Температурное поведение нашего графика $k(T)$ близко к установленному в [12] (кривая 4).

Замедление убывания зависимости $k(T)$, выявленной в [11] (кривая 2), по-видимому, связано с нерешеточным вкладом в теплопроводность. В работе [13] исследовался образец халькопирита, синтезированный методом плавления-отжига-спекания (melting-annealing-sintering process), с атомным соотношением Fe/Cu, равным 1.005. Для расчета теплопроводности из измеренной температуропроводности использовалась теплоемкость, определенная по закону Диюонга и Пти (Const(T)). На самом деле теплоемкость халькопирита с температурой растет. По данным [26] она близка к предельной величине $3R \times 4 = 100$ Дж/(моль·К) уже при комнатной температуре – далекой от температуры плавления – и продолжает круто расти. Эти данные хорошо согласуются с высокотемпературными, полученными в [27]. Возможно, в связи с этим график $k(T)$ авторов [13] (кривая 6 на нашем рис. 6) с выбранным масштабом имеет необычную форму, а именно круто загибается вниз. В области комнатной температуры показатель степени n в выражении $k(T) \sim T^{-n}$ больше единицы, а при самых высоких температурах $n > 2$.

Очень близкими к данным [13] являются результаты исследования теплопроводности образца с составом $\text{Cu}_{25.43}\text{Fe}_{25.66}\text{S}_{48.91}$ [14] (кривая 5). В данной работе авторы брали в расчет экспериментально определенную температурную зависимость теплоемкости. Но численные данные по теплоемкости в статье не приводятся.

Возможным вариантом объяснения сообщаемого в [13, 14] сильного снижения высокотемпературной теплопроводности является приближение к области температуры Нееля $T_N = 823$ К [28, 29].

Авторами работы [10] исследовался поликристалл, не прошедший законченной процедуры отжига после синтеза. Стеклоподобный характер температурной зависимости теплопроводности (кривая 3) связывают с негомогенностью образца. Но расположение двух точек $k(T)$ вблизи комнатной температуры вызывает вопросы о возможных изменениях в экспериментальной методике или качестве образца, а также о виде возможного экстраполяционного участка графика в область повышенных температур.

На рис. 7 приведен график температурной зависимости средней длины свободного пробега фононов в исследованном нами образце халькопирита в соответствии с выражением (1). В расчет брались калориметрические данные из [26, 27]. В качестве средней скорости фононов была принята величина $v = 2867$ м/с, определенная в [13].

Замедление роста $l(T)$ при понижении температуры от $T = 100$ К демонстрирует проявление фонон-дефектного рассеяния. В области комнатной температуры величина $l(T)$ убывает быстро, а именно пропорционально $T^{-1.6}$. Экстраполяция графика в область температуры плавления CuFeS_2 дает величину l_{\min} , промежуточную меж-

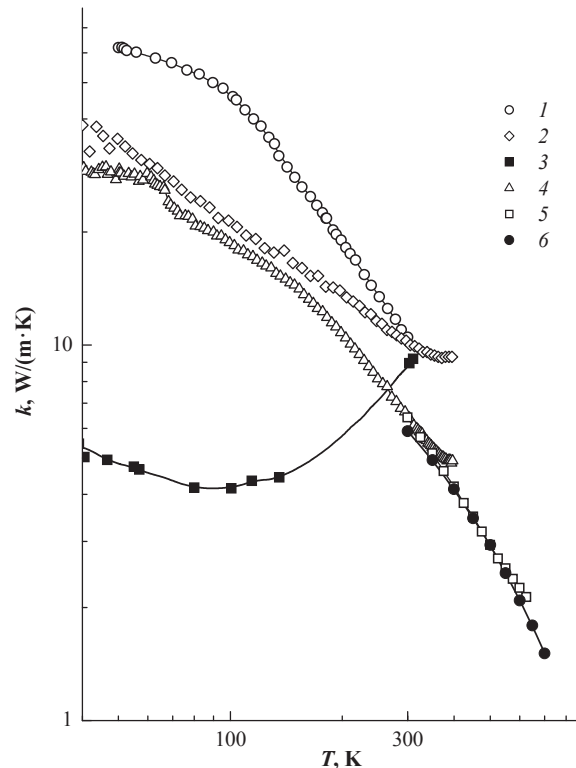


Рис. 6. Температурная зависимость теплопроводности халькопирита: наши данные (1), [11] (2), [10] (3), [12] (4), [14] (5), [13] (6)

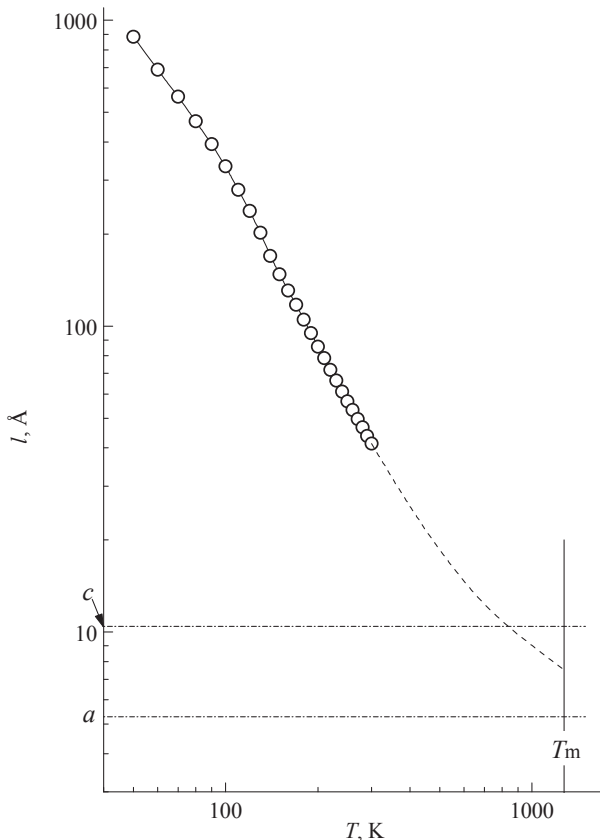


Рис. 7. Температурная зависимость средней длины свободного пробега фононов в халькопирите

ду значениями параметров a и с кристаллической решетки этого соединения.

Результаты измерения теплопроводности двух образцов ZnS представлены графически на рис. 8. Здесь же приведены данные по теплопроводности сульфида цинка других авторов (использовались численные данные [16, 17], в остальных случаях координаты точек $k(T)$ получены оцифровкой кривых, представленных на рисунках в статьях).

Значительные различия приведенных графиков свидетельствуют о сильной чувствительности теплопроводности ZnS к примесному составу и структурным особенностям материала. Выше других расположены кривые $k(T)$ для монокристаллических образцов ZnS, исследованных в работах [15, 18]. Исходя из несколько более высокой теплопроводности в области самых низких исследованных температур, можно утверждать, что образец Лугуевых [18] (рис. 8, кривая 1) имел более высокое совершенство структуры. Более того, поликристаллический образец ZnS [18] также демонстрирует (кривая 2) более высокую низкотемпературную теплопроводность, чем монокристалл Слэка [15] (кривая 3). В свя-

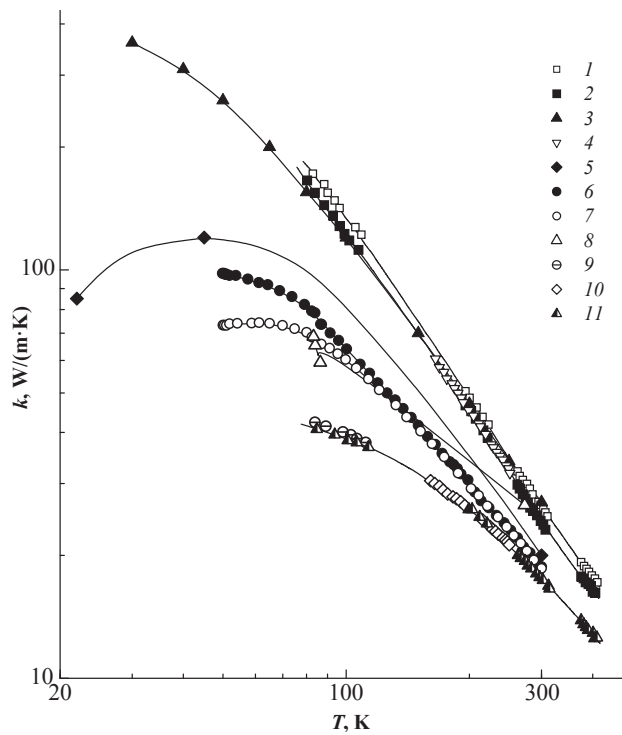


Рис. 8. Температурная зависимость теплопроводности ZnS: [18] (1), (2), (4), (9), (10), (11), [15] (3), [17] (5), наши данные (6) и (7), [16] (8)

зи с этим отметим, что фононное рассеяние на границах кристаллических зерен с кубической симметрией может быть несущественным даже при субазотных температурах [30]. В работе [16] объектом исследования был природный минерал сфалерита, с чем можно связать особенность полученной зависимости $k(T)$.

Что касается наших образцов, то их кривые $k(T)$ расположены между графиками для моно-кристалла, исследованного Крюгером [17] (кривая 5), и пористых поликристаллов из [18] (кривые 9, 10, 11). На полученных нами графиках $k(T)$ присутствуют признаки выхода их на низкотемпературный максимум. Известно, что с увеличением дефектности структуры этот максимум снижается и смещается обычно в сторону более высоких температур [21].

Меньшую низкотемпературную теплопроводность образца производства ООО «ПромЛаб» (кривая 7), с учетом его химической чистоты, можно объяснить фононным рассеянием вследствие присутствия в нем гексагональной фазы вюрцита.

На рис. 9 изображен график температурной зависимости средней длины свободного пробега фононов $l(T)$ в этом образце. В расчет брались калориметрические данные из [31], в качестве средней скорости звука была принята величи-

на $v = 2.86$ км/с, рассчитанная с использованием упругих модулей из [32].

Видно, что в интервале температур 100–300 К полученная зависимость удовлетворительно описывается степенной функцией $T^{-1.61}$. При этом в области комнатной температуры значение l остается значительным (~102 Å). Заметим, что это в 2 раза меньше определенной в [18] другим способом величины l при условии различия в теплопроводности только в ~1.5 раза. Экстраполяция нашего графика $l(T)$ в область температуры плавления ZnS дает величину l_{\min} , почти в 4 раза превышающую параметр решетки a . Это обстоятельство указывает, по-видимому, на особенности фонон-фононного взаимодействия в данном соединении.

Данные табл. 2 демонстрируют резкое различие в величинах коэффициента теплопроводности исследованных соединений. Следует отметить высокую величину теплопроводности халькопирита, которая свидетельствует об упорядоченном расположении катионов в решетке. Привлекают внимание очень низкие величины теплопроводности галенита, необычные для соединения с простой решеткой (типа хлорида натрия). Это обстоятельство привлекательно для разработки термоэлектрических материалов. Высокая теплопроводность сульфида цинка благоприятствует его использованию в фотонике.

4. Заключение

Таким образом, получены экспериментальные данные, существенно дополняющие представления о теплопроводности природных минералов халькопирита и галенита, а также синтетической керамики сульфида цинка. Эти данные свидетельствуют о принципиальной перспективности природных источников сырья для приборостроения. Низкая теплопроводность галенита благоприятна для термоэлектрических приложений этого материала. С другой стороны, выявлена широкая вариабельность коэффици-

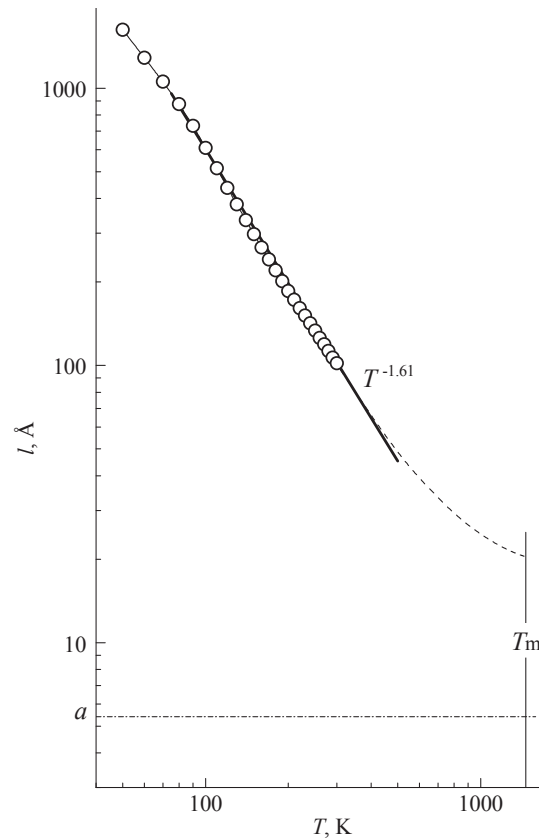


Рис. 9. Температурная зависимость средней длины свободного пробега фононов в образце ZnS

ента теплопроводности этих соединений в зависимости от состояния материала. В дальнейшем планируется расширение исследований теплопроводности природных минералов сульфидов из различных месторождений.

Благодарности

Авторы благодарят А. Г. Солдатова за предоставление образца ZnS для исследований.

Конфликт интересов

Авторы заявляют, что у них нет известных финансовых конфликтов интересов или личных отношений, которые могли бы повлиять на работу, представленную в этой статье.

Таблица 2. Значения теплопроводности исследованных сульфидов при различных температурах

T, К	PbS	CuFeS ₂	ZnS «ПромЛаб»	ZnS (Минск)	FeS ₂ [3]
50	10.9	62	73.2	98	900
100	5.6	46.5	60.0	64	207
150	4.02	27.8	40.9	41.6	106
200	3.27	18.8	29.5	30.0	73
250	2.79	13.6	23.1	23.3	58
300	2.48	10.5	18.6	18.8	48

Список литературы

1. Самофалова Т. В., Семенов В. Н., Нитута А. Н., Звягина О. В., Прокурина Е. Ю. Синтез и свойства пленок системы CdS–ZnS, легированных ионами меди. *Конденсированные среды и межфазные границы*. 2018;20(3):452–459. DOI: <https://doi.org/10.17308/kcmf.2018.20/582>
2. Иоффе А. Ф., Иоффе А. В. Теплопроводность твердых растворов полупроводников. *ФТТ*. 1960; 2(5): 781–792. Режим доступа: <http://books.e-heritage.ru/book/10085074>
3. Попов П. А., Федоров П. П., Кузнецова С. В. Теплопроводность кристаллов пирита FeS₂ в интервале температур 50–300 К. *Кристаллография*. 2013;58(2): 314–316. DOI: <https://doi.org/10.7868/S0023476113020227>
4. Wei L., Chen J.-F., He Q.-Y., Teng W. Study of lattice thermal conductivity of PbS. *Journal of Alloys and Compounds*. 2014;584: 381–384. DOI: <https://doi.org/10.1016/j.jallcom.2013.09.081>
5. Pei Y.-l., Liu Y. Electrical and thermal transport properties of Pb-based chalcogenides: PbTe, PbSe, and PbS. *Journal of Alloys and Compounds*. 2012;514: 40–44. DOI: <https://doi.org/10.1016/j.jallcom.2011.10.036>
6. Zhao L. D., Lo Sh., He J., Li H., Biswas K., Androulakis J., Wu C.-I., Hogan T. P., Chung D.-Y., Dravid V. P., Kanatzidis M. G. High performance thermoelectrics from earth-abundant materials: enhanced figure of merit in PbS by second phase nanostructures. *J. Am. Chem. Soc.* 2011;133: 20476–20487. DOI: <https://doi.org/10.1021/ja208658w>
7. Zhang H., Wang H., Zhu H., Li H., Su T., Li Sh., Hu M., Fan H. Hydrothermal synthesis and thermoelectric properties of PbS. *Materials Science-Poland*. 2016;34(4): 754–759 DOI: <https://doi.org/10.1515/msp-2016-0098>
8. El-Sharkawy A. A., Abou El-Azm A. M., Kenawy M. I., Hillal A. S., Abu-Basha H. M. Thermophysical properties of polycrystalline PbS, PbSe, and PbTe in the temperature range 300–700 K. *Int. J. Thermophys.* 1983;4(3): 261–269. DOI: <https://doi.org/10.1007/BF00502357>
9. Greig D. Thermoelectricity and thermal conductivity in the lead sulfide group of semiconductors. *Phys. Rev.* 1960;120(2): 358–365. DOI: <https://doi.org/10.1103/PhysRev.120.358>
10. Попов В. В., Кижакев С. Ф., Рудь Ю. В. Магнитные и тепловые свойства CuFeS₂ при низких температурах. *ФТТ*. 2011;53(1): 70–74. Режим доступа: <http://journals.ioffe.ru/articles/viewPDF/1283>
11. Tsujii N., Mori T. High thermoelectric power factor in a carrier-doped magnetic semiconductor CuFeS_x. *Appl. Phys. Express*. 2013;6(4): 043001–4. DOI: <https://doi.org/10.7567/APEX.6.043001>
12. Tsujii N. Possible enhancement of thermoelectric properties by use of a magnetic semiconductor carrier-doped chalcopyrite Cu_{1-x}Fe_{1+x}S₂. *J. Electron. Mater.* 2013;42(7): 1974–1977. DOI: <https://doi.org/10.1007/s11664-013-2485-3>
13. Li Y., Zhang T., Qin Y., Day T., Snyder G.J., Shi X., Chen L. Thermoelectric transport properties of diamond-like Cu_{1-x}Fe_{1+x}S₂ tetrahedral compounds. *Journal of Applied Physics*. 2014;116: 203705-8. DOI: <https://doi.org/10.1063/1.4902849>
14. Xie H., Su X., Yan Y., Liu W., Chen L., Fu J., Yang J., Uher C., Tang X. Thermoelectric performance of CuFeS_{2+2x} composites prepared by rapid thermal explosion. *NPG Asia Mater.* 2017;9: e390(12). DOI: <https://doi.org/10.1038/am.2017.80>
15. Slack G. A. Thermal conductivity of II-VI compounds and phonon scattering by Fe²⁺ Impurities. *Physical Review*. 1972;6(10): 3791–3800. DOI: <https://doi.org/10.1103/PhysRevB.6.3791>
16. Eucken A., Kuhn G. New Measurement of heat of conductivity of solid crystalline substances at 0° and –190 °C. *Z. Physik. Chem. A*. 1928;134(1): 193–219. DOI: <https://doi.org/10.1515/zpch-1928-13416>
17. Krüger R. Wärmeleitfähigkeit und spezifische Wärmekapazität von ZnS und CdS im Temperaturbereich von 20 K bis 300 K. *Thesis*. Technische Universität Berlin; 1969. 93 p. (in German).
18. Лугуева Н. В., Лугуев С. М. Влияние особенностей структуры на теплопроводность поликристаллического сульфида цинка. *ФТТ*. 2002;44(2): 251–256. Режим доступа: <http://journals.ioffe.ru/articles/viewPDF/39377>
19. Лугуева Н. В., Лугуев С. М. Влияние дефектов структуры на теплопроводность поликристаллов ZnS, ZnSe, CdTe. *TBT*. 2004;42(1): 58–63. Режим доступа: https://elibrary.ru/download/elibrary_17703022_31991555.PDF
20. Popov P. A., Sidorov A. A., Kul'chenkov E. A., Anishchenko A. M., Avetisov I. Sh., Sorokin N. I., Fedorov P. P. Thermal conductivity and expansion of PbF₂ single crystal. *Ionics*. 2017;23(1): 233–239. DOI: <https://doi.org/10.1007/s11581-016-1802-2>
21. Берман Р. *Теплопроводность твердых тел*. М.: Мир; 1979. 286 с. (Berman R., *Thermal Conduction in Solids*, Oxford: Clarendon; 1976. 193 p.)
22. Parkinson D. H., Quarrington J. E. The molar heats of lead sulphide, selenide and telluride in the temperature range 20°K to 260°K. *Proceedings of the Physical Society. Section A*. 1954;67(7): 569–579. DOI: <https://doi.org/10.1088/0370-1298/67/7/301>
23. Blachnik R., Igel R. Thermodynamische eigenschaften von IV–VI-verbindingen: bleich-alkogenide/thermodynamic properties of IV–VI-compounds: Leadchalcogenides. *Z. Naturforsch.* 1974;29B: 625–629. DOI: <https://doi.org/10.1515/znb-1974-9-1012>
24. Попов П. А., Матовников А. В., Моисеев Н. В., Бучинская И. И., Каримов Д. Н., Сорокин Н. И., Сульянова Е. А., Соболев Б. П., Крутов М. А. Тепло-

физические характеристики кристаллов твердого раствора $Pb_{0.679}Cd_{0.321}F_2$. *Кристаллография*. 2015;60(1): 111–115. DOI: <https://doi.org/10.7868/S0023476115010178>

25. Попов П. А. Теплопроводность твердотельных оптических материалов на основе неорганических оксидов и фторидов. *Дисс.... док. ф.-м. н.* М.: МГТУ им. Баумана; 2015. 532 с. Режим доступа: https://elibrary.ru/download/elibrary_25834920_35812051.pdf

26. Robie R. A., Wiggins L. B., Barton P. B., Hemingway B. S. Low-temperature heat capacity and entropy of chalcopyrite ($CuFeS_2$): estimates of the standard molar enthalpy and Gibbs free energy of formation of chalcopyrite and bornite (Cu_xFeS_4). *J. Chem. Thermodynamics*. 1985;17(5): 481–488. DOI: [https://doi.org/10.1016/0021-9614\(85\)90147-8](https://doi.org/10.1016/0021-9614(85)90147-8)

27. Pankratz L. B., King, E. G. *High-temperature enthalpies and entropies of chalcopyrite and bornite*. U.S. Bur. Mines: Rep Investig 7435: 1–10.

28. Berthebaud D., Lebedev O. I., Maignan A. Thermoelectric properties of n-type cobalt doped chalcopyrite $Cu_{1-x}Co_xFeS_2$ and p-type eskebornite $CuFeSe_2$. *J. Materiomics*. 2015;1(1): 68–74. DOI: <https://doi.org/10.1016/j.jmat.2015.03.007>

29. Sato K., Harada Y., Taguchi M., Shin S., Fujimori A. Characterization of Fe 3d states in $CuFeS_2$ by resonant X-ray emission spectroscopy. *Phys. Stat. Solid. A*. 2009;206: 1096–1100. DOI: <https://doi.org/10.1002/pssa.200881196>

30. Попов П. А., Дукельский К. В., Миронов И. А., Смирнов А. Н., Смолянский П. Л., Федоров П. П., Осико В. В., Басиев Т. Т. Теплопроводность оптической керамики CaF_2 . *Докл. РАН*. 2007;412(2): 185–187. Режим доступа: https://elibrary.ru/download/elibrary_9483974_92956063.pdf

31. Таблицы физических величин. Справочник / Под ред. И. К. Кикоина. М.: Атомиздат; 1976. 1008 с.

32. Khenata R., Bouhemadou A., Sahnoun M., Reshak A. H., Baltache H., M. Rabah M. Elastic, electronic and optical properties of ZnS, ZnSe and ZnTe under pressure. *Computational Materials Science*. 2006;38(1): 29–38. DOI: <https://doi.org/10.1016/j.commatsci.2006.01.013>

Информация об авторах

Попов Павел Аркадьевич, д. ф.- м. н., профессор, Брянский государственный университет им. И. Г. Петровского, Брянск, Российская Федерация; e-mail: tfgubry@mail.ru. ORCID iD: <https://orcid.org/0000-0001-7555-1390>.

Кузнецов Сергей Викторович, к. х. н., заведующий кафедрой химии, Брянский государственный университет им. И. Г. Петровского, Брянск, Российская Федерация; e-mail: passivoxid@mail.ru. ORCID iD: <https://orcid.org/0000-0002-6885-6433>.

Круговых Александр Андреевич, аспирант, Брянский государственный университет им. И. Г. Петровского, Брянск, Российская Федерация; e-mail: aleksander,kru@yandex.ru. ORCID iD: <https://orcid.org/0000-0002-3063-4552>.

Митрошенков Николай Васильевич, к. ф.- м. н., старший преподаватель, Брянский государственный университет им. И. Г. Петровского, Брянск, Российская Федерация; e-mail: weerm@yandex.ru. ORCID iD: <https://orcid.org/0000-0002-4418-9613>.

Балабанов Станислав Сергеевич, к. х. н., в. н. с., Институт химии высокочистых веществ им. Г. Г. Девятых РАН, Нижний Новгород, Российская Федерация; e-mail: balabanov@ihps.nnov.ru. ORCID iD: <https://orcid.org/0000-0003-1920-9894>.

Федоров Павел Павлович, д. х. н., профессор, главный научный сотрудник Института общей физики им. А. М. Прохорова РАН, Москва, Российская Федерация; e-mail: ppfedorov@yandex.ru. ORCID iD: <https://orcid.org/0000-0002-2918-3926>.

Все авторы прочитали и одобрили окончательный вариант рукописи.